

Fig. 2. Durchschnitt des K.k. nach ω

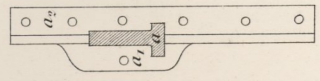


Fig. 1. Kegelfranz Segment.

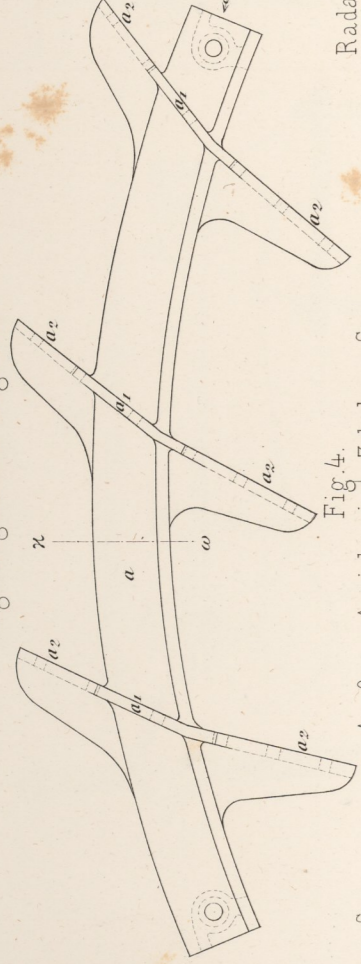


Fig. 3. Ansicht des K.k. nach γ .



Radarm auf der Zahnkranz Seite
Längen Durchschnitt

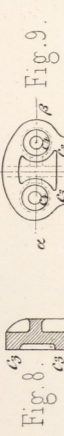
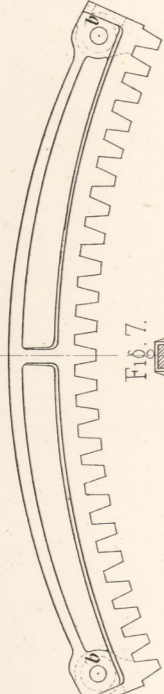


Fig. 4. Außere Ansicht eines Zahnkranz-Segmentes.



Radarm des mittleren Systemes
Fig. 14. Ansicht. Fig. 15. Längen Durchschnitt.



Fig. 10.

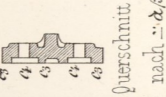


Fig. 5. Mittleren Querschnitt
Ansicht des Zahnkranzes nach
der Richtung ω Fig. 4.

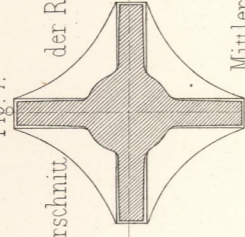


Fig. 7. der Radwelle
Durchschnitt des Zahnkranzes

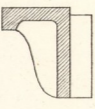
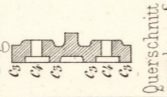
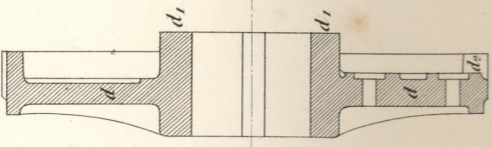


Fig. 11.



Rosette auf der Zahnkranzseite.
Fig. 17. Außere Ansicht.



Mittlere Rosette des Rades.
Fig. 18. Außere Ansicht

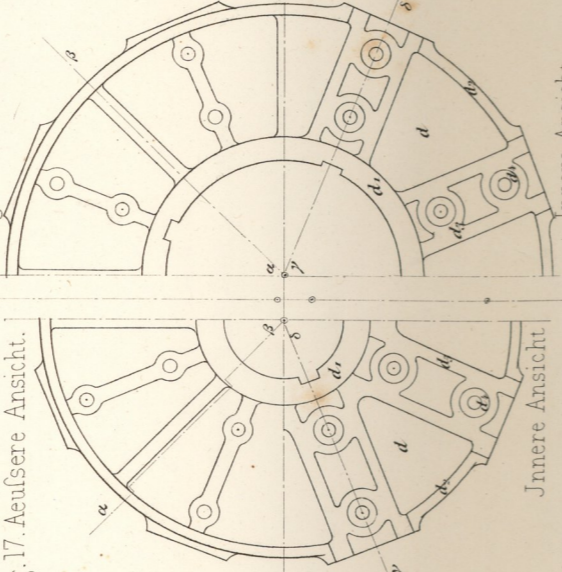
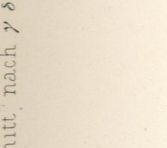


Fig. 18.



Innere Ansicht.

Innere Ansicht.

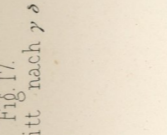
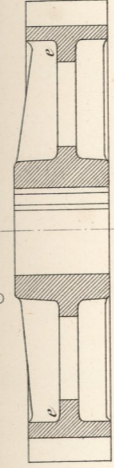


Fig. 20. Getriebe.



Aufzug für die Regulirschütze.

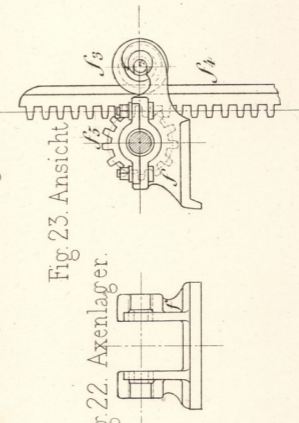
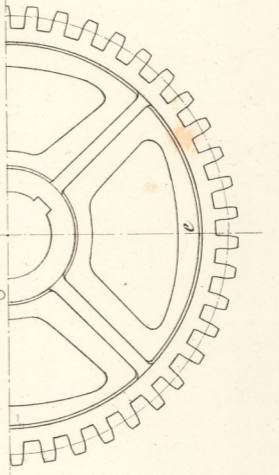


Fig. 22. Axenlager.

Fig. 23. Ansicht.

Fig. 21. Ansicht.



Aufzug zur Einlaufs Schleuse.

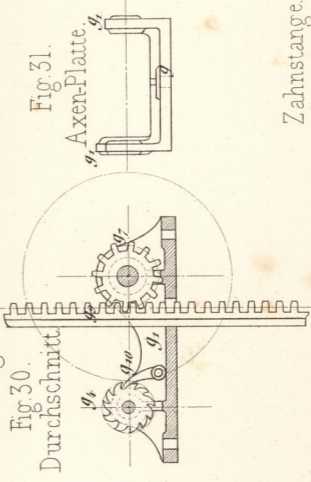
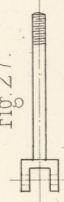


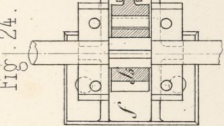
Fig. 30.

Fig. 31.

Charnière Bolzen.



Grundriß



Zahnstange.

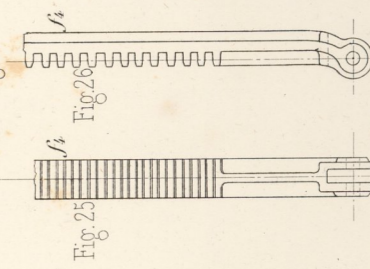
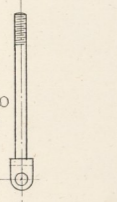


Fig. 24.

Fig. 26.

Fig. 26.

Fig. 28.



Lauf Rolle zur Einlaufs Schleuse.

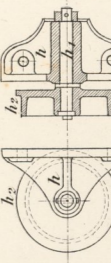
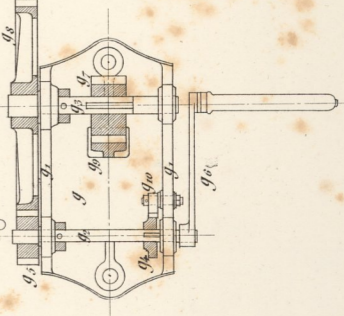
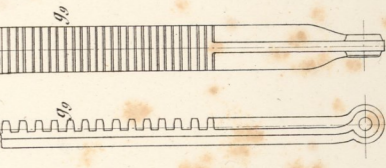


Fig. 22. Grundriß.



Zahnstange.
Fig. 33. Fig. 34.



Bolzen zur Laufrolle.

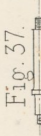


Fig. 29.

